

運動量依存性を考慮した レプトン数生成の解析

佐賀大学工学系研究科

船久保公一

富山大学 素粒子論セミナー

2014年9月12日

動機

初期宇宙のイベント

痕跡となる量を決めるのは非平衡過程

DM Abundance

Baryon Asymmetry

CMB Fluctuation

Gravitational Wave

....

非平衡状態の起源

空間の膨張	GUT-Baryogenesis	Leptogenesis
背景場の時間変化と見なせる	Freeze-out of CDM	
	CMB anisotropy	evolution of the plasma

背景場の時間変化

空間的一様場	Affleck-Dine BG
	Preheating (parametric resonance)
空間的非一様場	EW-Baryogenesis
	Preheating (tachyonic)

非平衡状態の取り扱い

Classical equation of motion

場の方程式の数値解

スファレロン遷移の数値解析

tachyonic preheating

thermal & quantum fluctuationが取込めない

Boltzmann equation

粒子の分布関数に対する微積分方程式
 $f(t, \mathbf{x}, \mathbf{p})$

GUT-Baryogenesis

Leptogenesis

DM abundance

現象論の方程式 — 第一原理導出されていない

空間的に非一様な場合は、数値解も困難

Kadanoff-Baym equation

場の相関関数に対する微積分方程式
 $\langle \phi(t, \mathbf{x})\phi(t', \mathbf{x}') \rangle$ Schwinger-Dyson eq.

第一原理導出可能

Boltzmann eq.に無いoff-shell & memory effects

Kadanoff-Baym eq.に**ある種の近似**を適用することで、
Boltzmann eq.を導出可能

- on-shell limit
- derivative expansion

Boltzmann eq.の妥当性を検証するために、**正確に解きたい。**

用いられてきた仮定・近似（空間的に一様な場合）

$$f(\textcolor{blue}{t}, \textcolor{red}{p}) = \frac{n(\textcolor{blue}{t})}{n^{\text{eq}}} f^{\text{eq}}(\textcolor{red}{p}) \longrightarrow n(\textcolor{blue}{t}) \text{に対する微分方程式}$$

終状態統計因子： $1 \pm f(t, p) \longrightarrow 1$

衝突項は全ての相互作用を含まない（含めない）

Thermal Leptogenesisにおいて、
(一部の) 仮定・近似の妥当性を検証する。

Full Boltzmann equation

heavy neutrinoが平衡状態から逸脱することが本質的

$$f_N(t, p_N) = \frac{n_N(t)}{n_N^{\text{eq}}} f^{\text{eq}}(p_N) \quad \text{という仮定は許されるか?}$$

$f_L(t, p_L), f_{\bar{L}}(t, p_L)$ gauge int.等のためkinetic equilibrium

$$f_L(t, p_L) \simeq \frac{1}{e^{(E_L - \mu(t))/T} + 1} \quad f_{\bar{L}}(t, p_L) \simeq \frac{1}{e^{(E_L + \mu(t))/T} + 1}$$

references:  Basboll and Hannestad, JCAP 0701-003 [hep-ph/0609025]

 Garayoa, et al., JCAP 0909-035 [hep-ph/0905.4834]

 Hahn-Woernle, Plumacher, Wong, JCAP 0908-028 [hep-ph/0907.0205]

Boltzmann eq.にerror, 散乱過程は一部だけ

Model:

L- and R-leptons in the 3-generation seesaw model
+ 3rd generation of the quarks

Assumption:

空間的一様性 $f_a(t, \mathbf{p}) = f_a(t, p)$ with $p = |\mathbf{p}|$

$M_1 \ll M_2, M_3$ Lightest heavy neutrinoだけの寄与を考える

quark, Higgs bosonsはmasslessの熱平衡分布

FRW時空でのBoltzmann方程式の一般形 (一様空間)

$$\frac{\partial f_a(t, p)}{\partial t} - H(t)p \frac{\partial f_a(t, p)}{\partial p} = \frac{1}{2E_a} C[\mathfrak{f}_a] \quad a = N_1, L_A, \bar{L}_A \quad (A = 1, 2, 3)$$

dimensionless variables: $z = M_1/T$, $y_a = p_a/T$, $\bar{E}_a = E_a/T$

$$\frac{\partial f_{N_1}(z, y_N)}{\partial z} = \frac{z}{2\bar{E}_N H(z=1)} (C^{\text{D-ID}}[\mathfrak{f}_{N_1}] + C^{|\Delta L|=1}[\mathfrak{f}_{N_1}])$$

$$\frac{\partial f_{L_A}(z, y_L)}{\partial z} = \frac{z}{2\bar{E}_L H(z=1)} (C^{\text{D-ID}}[\mathfrak{f}_{L_A}] + C^{|\Delta L|=2}[\mathfrak{f}_{L_A}] + C^{|\Delta L|=1}[\mathfrak{f}_{L_A}])$$

$$\frac{\partial f_{\bar{L}_A}(z, y_L)}{\partial z} = \frac{z}{2\bar{E}_{\bar{L}} H(z=1)} (C^{\text{D-ID}}[\mathfrak{f}_{\bar{L}_A}] + C^{|\Delta L|=2}[\mathfrak{f}_{\bar{L}_A}] + C^{|\Delta L|=1}[\mathfrak{f}_{\bar{L}_A}])$$

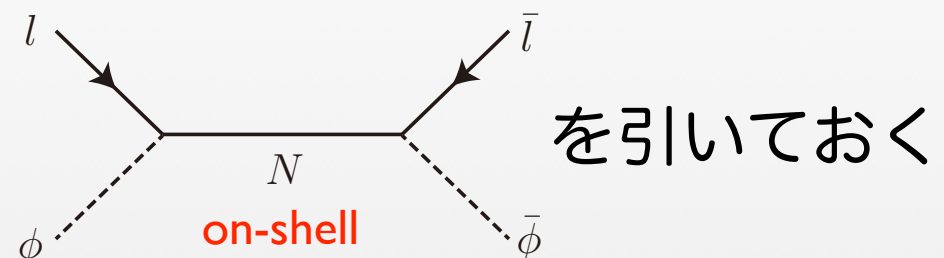
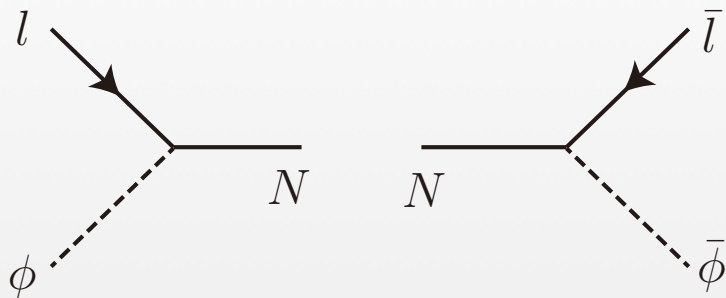
on-shell $|\Delta L| = 2$ scattering terms subtracted

As for the lepton number distribution,

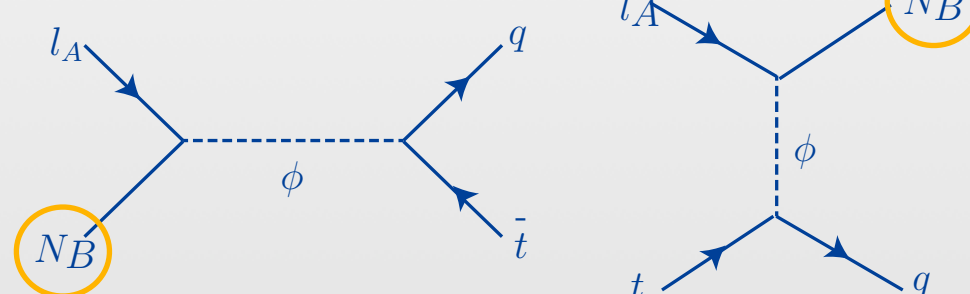
$$f_{\mathcal{L}_A}(z, y_L) \equiv f_{L_A}(z, y_L) - f_{\bar{L}_A}(z, y_L), \quad f_{\mathcal{L}}(z, y_L) \equiv \sum_A f_{\mathcal{L}_A}(z, y_L)$$

Collision terms

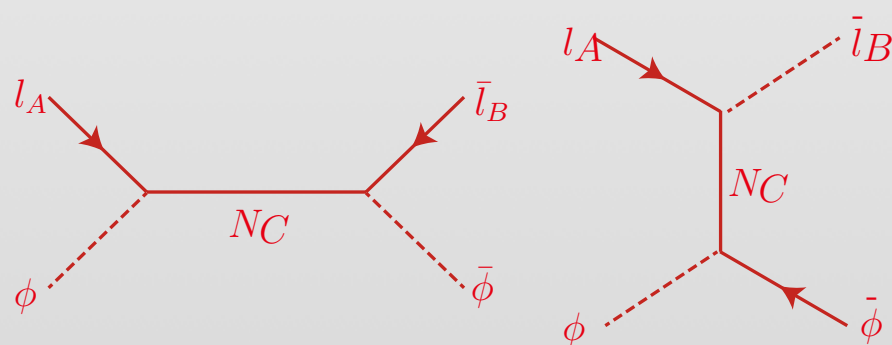
Decay-Inverse Decay



$|\Delta L| = 1$ scattering



$|\Delta L| = 2$ scattering



$$f_L(z, y) = \frac{1}{e^{(E_L - \mu(t))/T} + 1} = \frac{1}{e^{(\bar{E}_L - \bar{\mu}(z))} + 1} \quad f_{\bar{L}}(z, y) = \frac{1}{e^{(\bar{E}_{\bar{L}} + \bar{\mu}(z))} + 1}$$

として $\mu(z)$ の 1 次まで。 $f_L(z, y_L) + f_{\bar{L}}(z, y_L) \simeq 2f_L^{\text{eq}}(y_L)$

まず、D-IDのみ

heavy neutrino

$$\begin{aligned} \frac{\partial f_N(z, y_N)}{\partial z} &= \frac{16\pi K z^2}{2\bar{E}_N} \int d\tilde{y}_H d\tilde{y}_L (2\pi)^4 \delta^4(y_N - y_L - y_H) \\ &\quad \times [f_H^{\text{eq}}(y_H) f_L^{\text{eq}}(y_L) (1 - f_N(y_N)) - f_N(y_N) (1 + f_H^{\text{eq}}(y_H)) (1 - f_L^{\text{eq}})(y_L))] \end{aligned}$$

leptons

$$\frac{\partial f_L(z, y_N)}{\partial z} = \frac{z}{2\bar{E}_N H(z=1)} C^{\text{D-ID}}[f_L, f_N],$$

$$\frac{\partial f_{\bar{L}}(z, y_N)}{\partial z} = \frac{z}{2\bar{E}_N H(z=1)} C^{\text{D-ID}}[f_{\bar{L}}, f_N]$$

$$C^{\text{D-ID}}[f_L, f_N] \sim \int d\tilde{y}_N d\tilde{y}_H (2\pi)^4 (y_N - y_L - y_H) \\ \times [f_N(1 - f_L)(1 + f_H^{\text{eq}})|A(N \rightarrow LH)|^2 - f_L f_H^{\text{eq}}(1 - f_N)|A(LH \rightarrow N)|^2] \\ - S_{\text{os}}[f_L],$$

$$C^{\text{D-ID}}[f_{\bar{L}}, f_N] \sim \int d\tilde{y}_N d\tilde{y}_H (2\pi)^4 (y_N - y_L - y_H) \\ \times [f_N(1 - f_{\bar{L}})(1 + f_H^{\text{eq}})|A(N \rightarrow \bar{L}\bar{H})|^2 - f_{\bar{L}} f_H^{\text{eq}}(1 - f_N)|A(\bar{L}\bar{H} \rightarrow N)|^2] \\ - S_{\text{os}}[f_{\bar{L}}]$$

lepton数のcollision termはこの2つの差

従来は、ここで終状態統計因子を1にして差をとる

$f_L = f_L - f_{\bar{L}}$ に比例する項が欠落 wash-out termを過小評価

$$\begin{aligned}
S_{\text{os}}[\mathbf{f}_L, \mathbf{f}_{\bar{L}}] &\sim \int d\tilde{p}_H d\tilde{p}_{\bar{L}} d\tilde{p}_{\bar{H}} (2\pi)^4 (p_L + p_H - p_{\bar{L}} - p_{\bar{H}}) \\
&\times \left[\mathbf{f}_L f_H^{\text{eq}} (1 - \mathbf{f}_{\bar{L}}) (1 + f_{\bar{H}}^{\text{eq}}) |M_{\text{os}}(LH \rightarrow \bar{L}\bar{H})|^2 \right. \\
&\quad \left. - \mathbf{f}_{\bar{L}} f_{\bar{H}}^{\text{eq}} (1 - \mathbf{f}_L) (1 + f_H^{\text{eq}}) |M_{\text{os}}(\bar{L}\bar{H} \rightarrow LH)|^2 \right]
\end{aligned}$$

ここでon-shell amplitudeは、Nのdecay amplitudeにより、

$$\begin{aligned}
|M_{\text{os}}(LH \rightarrow \bar{L}\bar{H})|^2 &= |A(LH \rightarrow N)|^2 \frac{\pi\delta(s - M^2)}{M\Gamma_N} |A(N \rightarrow \bar{L}\bar{H})|^2 \simeq \left(\frac{1 - \epsilon}{2}\right)^2 |A_D|^2 \frac{\pi\delta(s - M^2)}{M\Gamma_N} |A_D|^2, \\
|M_{\text{os}}(\bar{L}\bar{H} \rightarrow LH)|^2 &= |A(\bar{L}\bar{H} \rightarrow N)|^2 \frac{\pi\delta(s - M^2)}{M\Gamma_N} |A(N \rightarrow LH)|^2 \simeq \left(\frac{1 + \epsilon}{2}\right)^2 |A_D|^2 \frac{\pi\delta(s - M^2)}{M\Gamma_N} |A_D|^2
\end{aligned}$$

Γ_N はthermal decay width

[Weldon, Phys. Rev. D 28, 2007]

$$\begin{aligned}
\Gamma^{\text{th}} &= \frac{1}{2M} \int d\tilde{p}_L d\tilde{p}_H (2\pi)^4 \delta^4(p_N - p_L - p_H) |A_D|^2 \\
&\times [(1 - f_L^{\text{eq}}(p_L))(1 + f_H^{\text{eq}}(p_H)) + f_L^{\text{eq}}(p_L)f_H^{\text{eq}}(p_H)].
\end{aligned}$$

$$f_L(p_L) - f_{\bar{L}}(p_L) = \textcolor{red}{f}_{\mathcal{L}}(p_L), \quad f_L(p_L) + \textcolor{teal}{f}_{\bar{L}}(p_L) = f_L^{\text{eq}}(p_L) + O(\epsilon^2)$$

を用いると、CP violationの1次までで、

$$\begin{aligned} S_{\text{os}}[\textcolor{red}{f}_L, \textcolor{teal}{f}_{\bar{L}}](\textcolor{red}{p}_L) - \bar{S}_{\text{os}}[\textcolor{teal}{f}_{\bar{L}}, \textcolor{red}{f}_L](\textcolor{red}{p}_L) \\ = \frac{1}{2E_L} \int d\tilde{p}_H d\tilde{p}_{\bar{L}} d\tilde{p}_{\bar{H}} (2\pi)^4 \delta^4(\textcolor{red}{p}_L + p_H - p_{\bar{L}} - p_{\bar{H}}) |A_D|^2 \frac{\pi\delta(s - M^2)}{M\Gamma_N} |A_D|^2 \\ \times \left\{ -\epsilon [f_L^{\text{eq}}(\textcolor{red}{p}_L) f_H^{\text{eq}}(p_H) (1 - f_L^{\text{eq}}(p_{\bar{L}})) (1 + f_H^{\text{eq}}(p_{\bar{H}}))] + f_L^{\text{eq}}(p_{\bar{L}}) f_H^{\text{eq}}(p_{\bar{H}}) (1 - f_L^{\text{eq}}(\textcolor{red}{p}_L)) (1 + f_H^{\text{eq}}(p_H)) \right. \\ + \frac{1}{4} [\textcolor{red}{f}_{\mathcal{L}}(\textcolor{red}{p}_L) (1 - f_L^{\text{eq}}(p_{\bar{L}})) + f_L^{\text{eq}}(\textcolor{red}{p}_L) \textcolor{red}{f}_{\mathcal{L}}(p_{\bar{L}})] f_H^{\text{eq}}(p_H) (1 + f_H^{\text{eq}}(p_{\bar{H}})) \\ \left. + \frac{1}{4} [\textcolor{red}{f}_{\mathcal{L}}(p_{\bar{L}}) (1 - f_L^{\text{eq}}(\textcolor{red}{p}_L)) + f_L^{\text{eq}}(p_{\bar{L}}) \textcolor{red}{f}_{\mathcal{L}}(\textcolor{red}{p}_L)] f_H^{\text{eq}}(p_{\bar{H}}) (1 + f_H^{\text{eq}}(p_H)) \right\} \end{aligned}$$

$$\underline{f_L^{\text{eq}}(p_{\bar{L}}) f_H^{\text{eq}}(p_{\bar{H}})} = f_f^{\text{eq}}(E_{\bar{L}} + E_{\bar{H}}) [(1 - f_L^{\text{eq}}(p_{\bar{L}})) (1 + f_H^{\text{eq}}(p_{\bar{H}})) + f_L^{\text{eq}}(p_{\bar{L}}) f_H^{\text{eq}}(p_{\bar{H}})]$$

$$\underline{(1 - f_L^{\text{eq}}(p_{\bar{L}})) (1 + f_H^{\text{eq}}(p_{\bar{H}}))} = e^{(E_{\bar{L}} + E_{\bar{H}})/T} f_f^{\text{eq}}(E_{\bar{L}} + E_{\bar{H}}) [(1 - f_L^{\text{eq}}(p_{\bar{L}})) (1 + f_H^{\text{eq}}(p_{\bar{H}})) + f_L^{\text{eq}}(p_{\bar{L}}) f_H^{\text{eq}}(p_{\bar{H}})]$$

を使い、次の積分を挿入： $1 \equiv \int d^4 p_N \delta^4(p_N - p_L - p_H)$

$|A_D|^2$ を含む一部を Γ_N で書き換え

まとめると、

$$\frac{H(z=1)}{z} \frac{\partial f_{\mathcal{L}}(z, y_L)}{\partial z}$$

$$= \frac{|A_D|^2}{2T} \frac{\epsilon}{2E_L} \int d\tilde{y}_N d\tilde{y}_H (2\pi)^4 \delta^4(y_N - \mathbf{y}_L - y_H)$$

$$\times [(1 - f_L^{\text{eq}}(\mathbf{y}_L))(1 + f_H^{\text{eq}}(y_H)) - f_H^{\text{eq}}(y_H)f_L^{\text{eq}}(\mathbf{y}_L)] (f_N(y_N) - f_N^{\text{eq}}(y_N))$$

$$- \frac{|A_D|^2}{2T} \frac{f_{\mathcal{L}}(y_L)}{4\bar{E}_L} \int d\tilde{y}_N d\tilde{y}_H (2\pi)^4 \delta^4(y_N - \mathbf{y}_L - y_H) (f_N(y_N) - f_N^{\text{eq}}(y_N))$$

レプトン数生成

wash out

Nに対するBEの解

$$(f_N(y_N) - f_N^{\text{eq}}(y_N))$$

$$(f_N(y_N) - f_N^{\text{eq}}(y_N))$$

数値解析

- Heavy neutrino分布関数の時間依存性
- full vs integrated Boltzmann eqs. の比較
- 2種類のレプトン数非保存散乱過程の効果

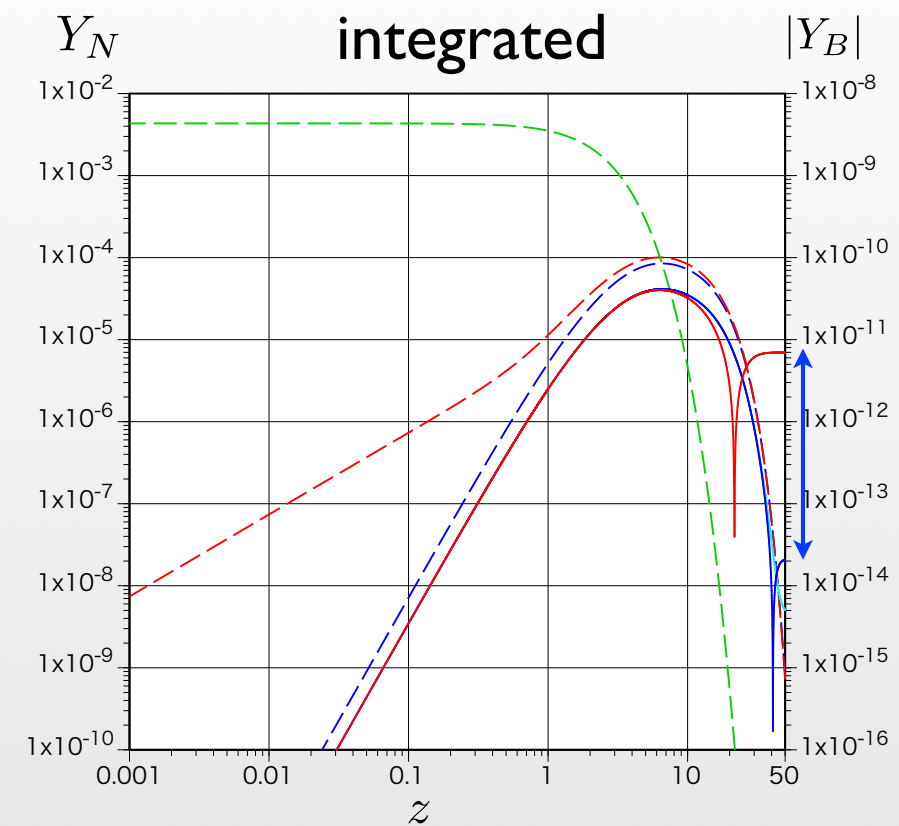
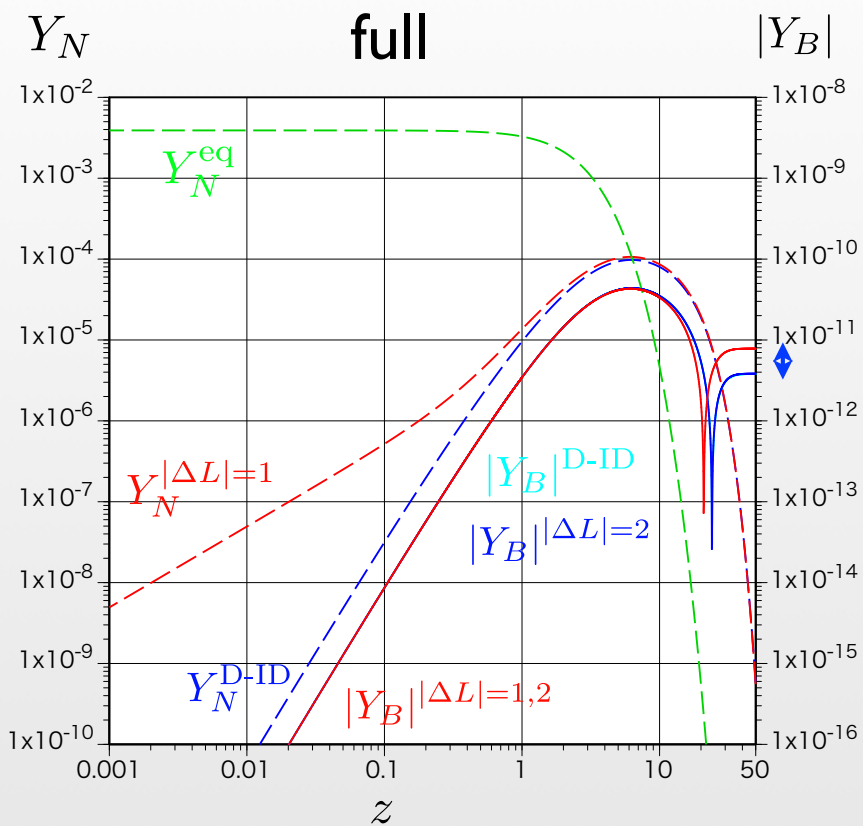
2-body scatt.は終状態統計因子を1

fixed input parameters:

$$M = 10^{10} \text{GeV} \quad \epsilon = 10^{-6} \quad y_t = \frac{\sqrt{2} m_t}{v_0} = 1.00 \quad (m_t = 174 \text{GeV})$$

$K = 10^{-3} - 10^2$ の範囲で Boltzmann eqs. の数値解

$$K = 0.01$$

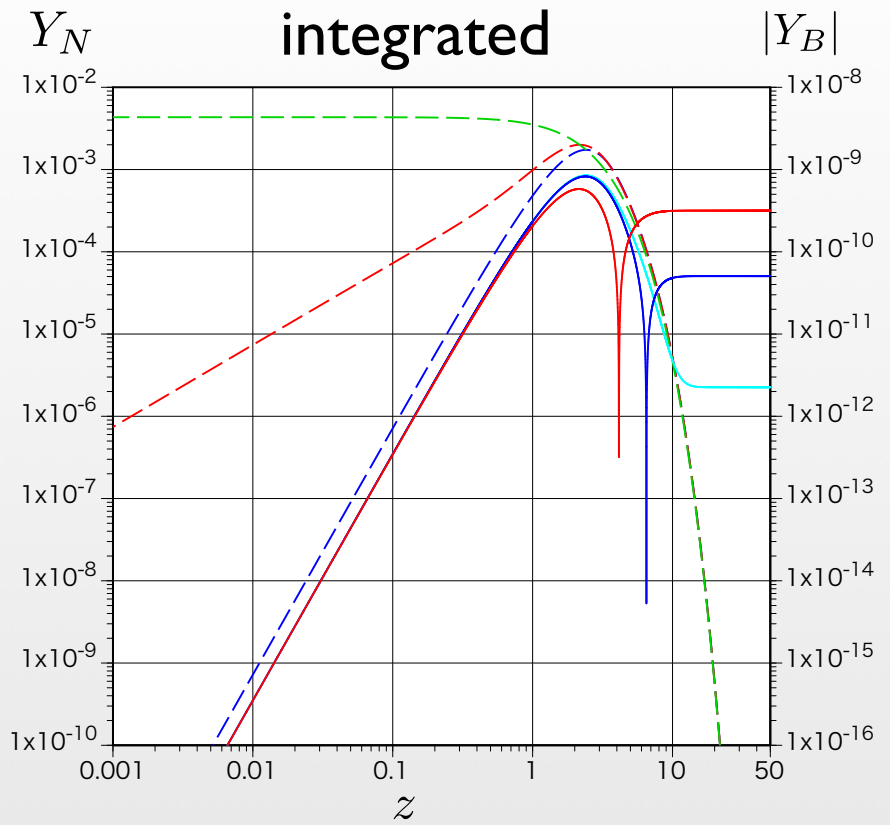
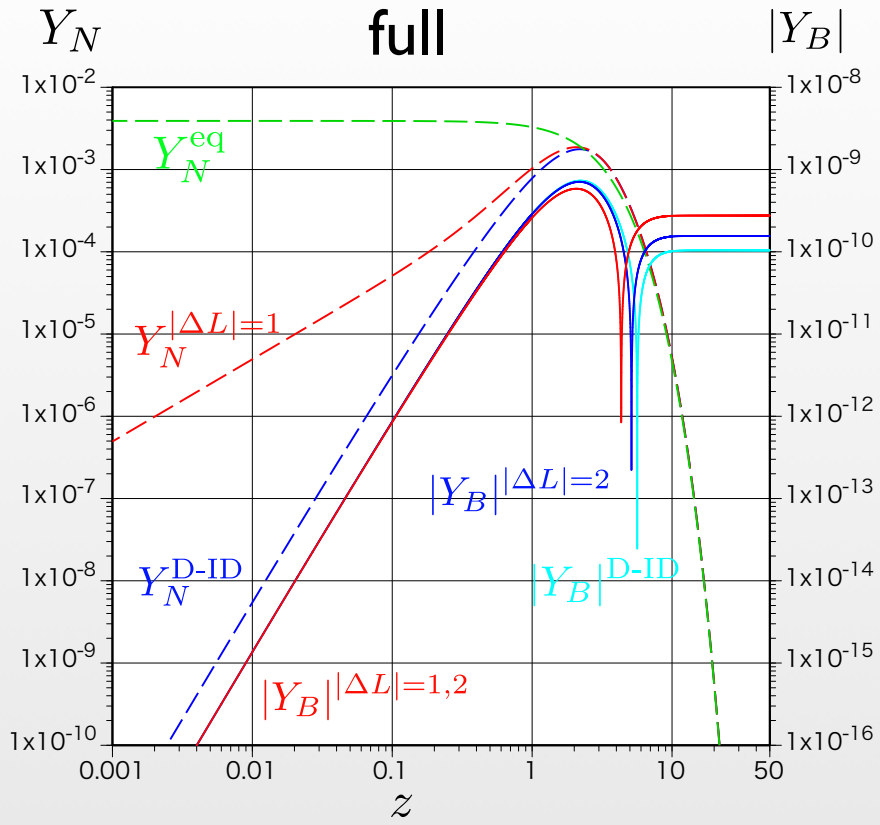


$|\Delta L| = 1$ の過程は Y_N にも効くが、 $|\Delta L| = 2$ の過程は L の washout にだけ効く。

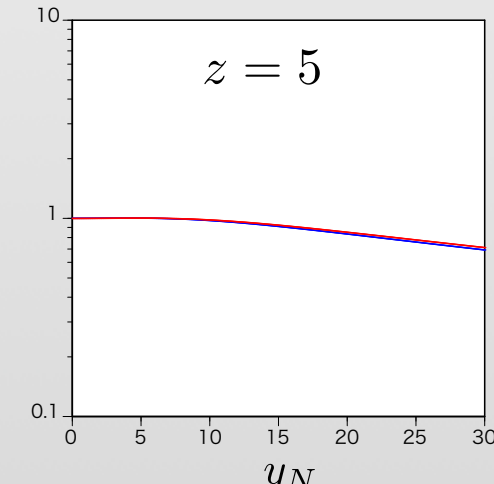
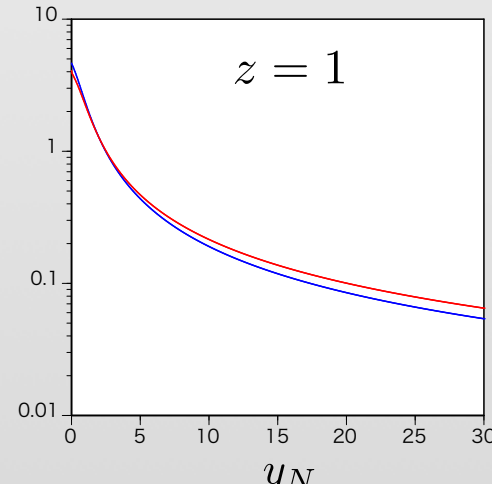
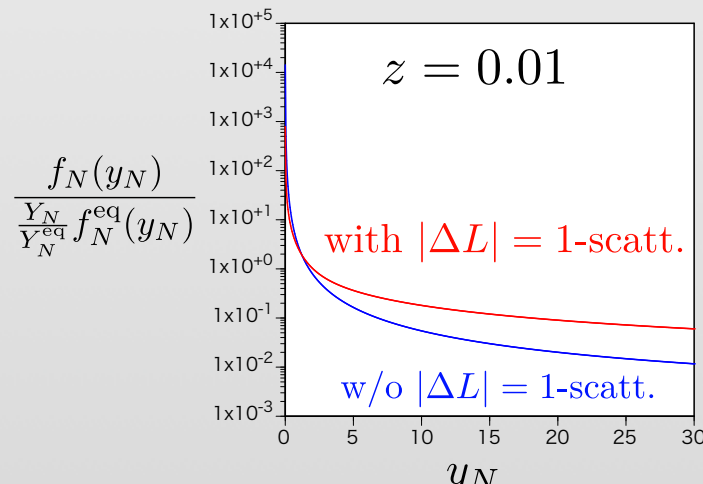
$|\Delta L| = 1$ の過程は初期の heavy neutrino 生成に大きく寄与する。

D-IDのみを考慮した integrated BE の Y_B は符号の反転さえしない。

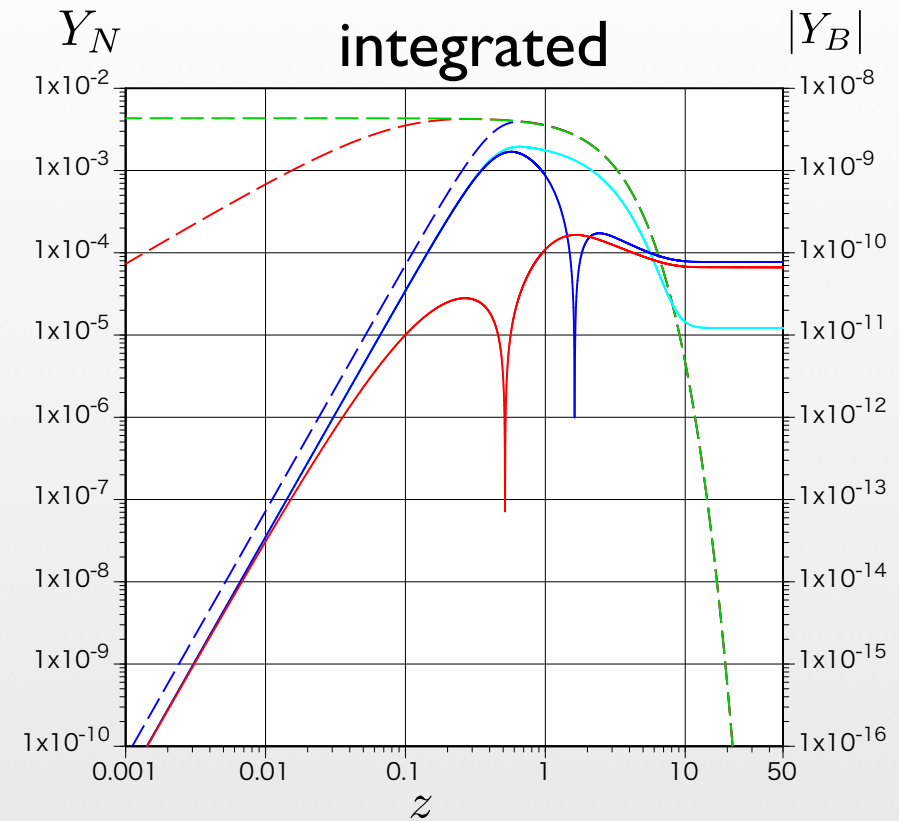
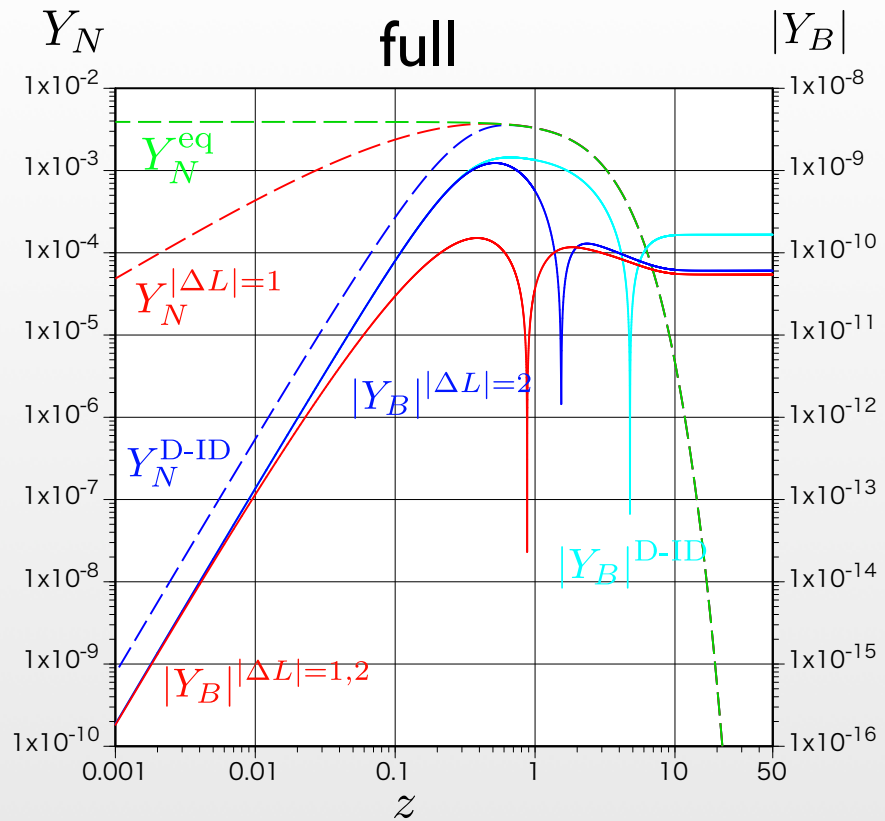
$K = 1$



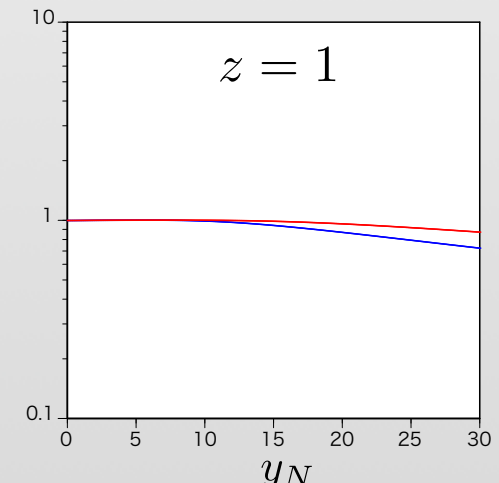
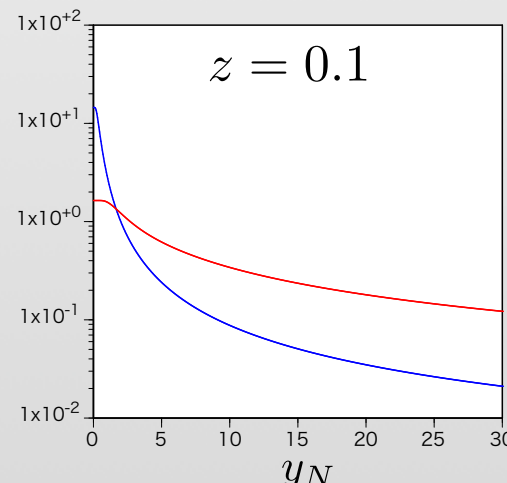
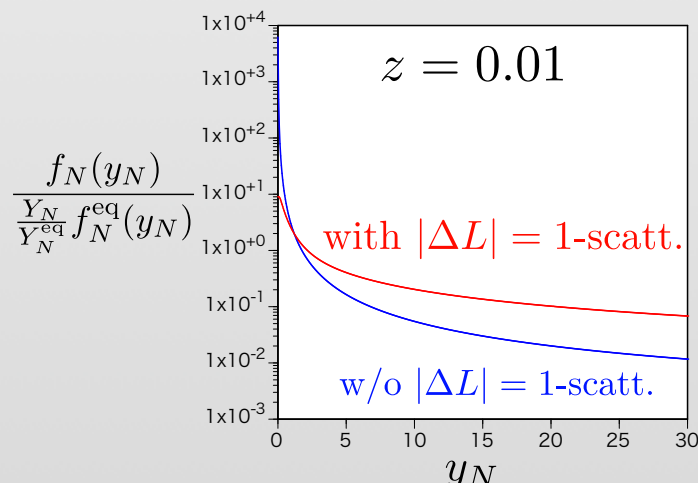
evolution of the heavy- ν distribution function



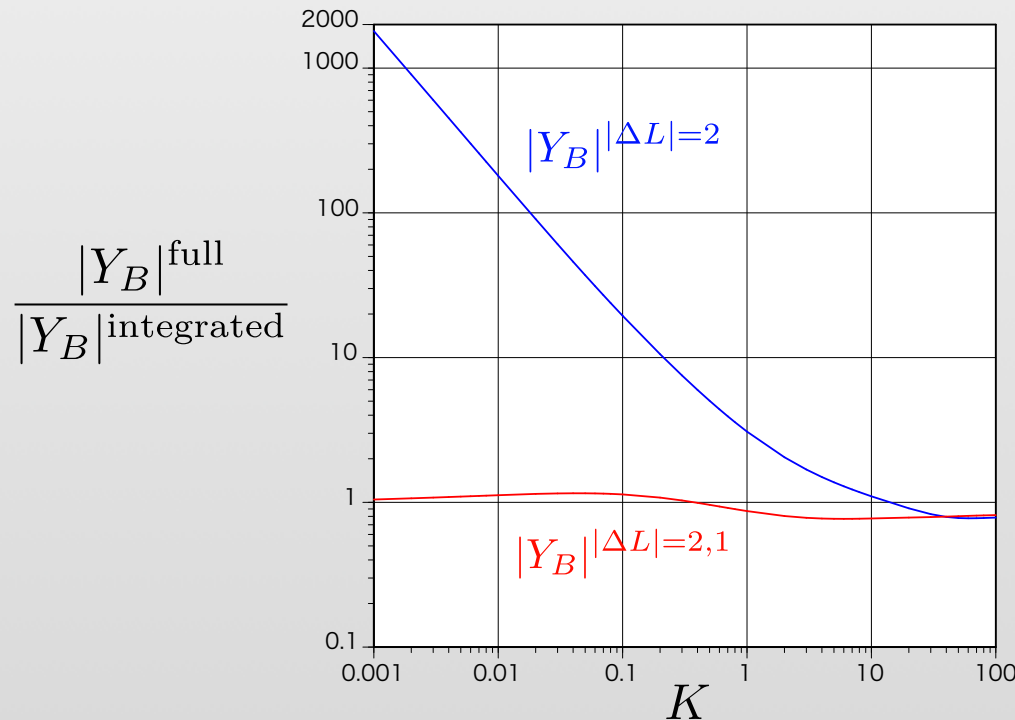
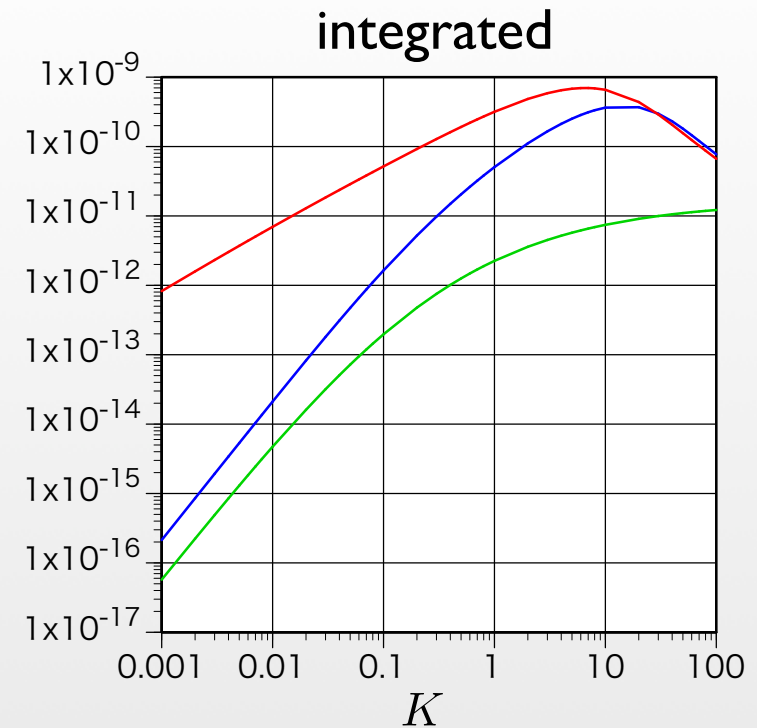
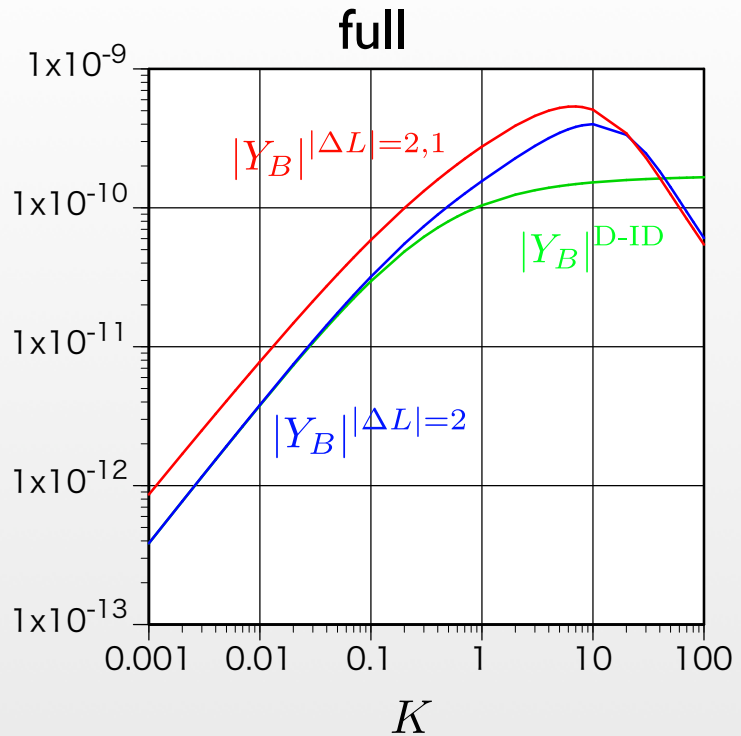
$K = 100$



evolution of the heavy- ν distribution function



value of the final $|Y_B|$



一般にKが小さい方が非平衡性が強いため、full BEとintegrated BEの解の差は大きい。

逆に、K>50では両者が生成するレプトン数の差は無視できる。

分布関数の時間発展は異なるが、最終的なレプトン数には効かない。

$|\Delta L| = 1$ の散乱過程は、heavy neutrinoを平衡分布に、より早く近づけ、レプトン数のwashoutにも寄与する。

崩壊-逆崩壊(onshell-scatt.-subtracted)のみを含むintegrated BEの解はKが大きい場合でも信頼できない。

K>100の場合、散乱過程によるwashout効果が大きく、生成されるレプトン数がBAUを説明できなくなる。

$$\Gamma_{\text{sph}}^{(\text{sym})}(T) > H(T) \quad \text{for } \underline{T_{EW} < T < 10^{12} \text{GeV}}$$

この範囲で $|\Delta L| \neq 0$ 過程が化学平衡 $\rightarrow B = L = 0$

おわりに

Boltzmann方程式は初期宇宙の**非平衡現象**の解析に用いられてきた。

GUT-baryogenesis, Leptogenesis, DM abundance, ...

Leptogenesisの解析でよく用いられてきたintegrated BEの近似が妥当となる場合を示した。

種々の相互作用の取込み
非平衡性の見極め

今後の課題

- ★ Leptogenesis以外の問題への適用
- ★ Boltzmann方程式が使えないケース --- resonant Leptogenesis
- ★ Boltzmann方程式で見落とした効果
off-shell, memory effects (CTP formalism might work)

ご清聴、ありがとうございました。